

徳島大学工学部 正員 ○端野道夫
同上 正員 田中秀夫

1. まえがき 水文量の信頼限界に関する従来の基本的考え方は順序統計学に基づくものが多いことである。¹⁾²⁾³⁾ こゝの方法では、 N_y の水文資料より、 $T > N$ なるリターンピリオド T に対する水文量の信頼限界につけての解を与えることができる、何らかの仮定を設けて簡便的に外挿せざるを得ない。したがって、少數の標本数 N よりも大きなリターンピリオド T に対する水文量を計画量とすることが多い現実を見ると、より合理的な信頼限界理論の開発が切望される。本研究では、最大法 (Maximum Likelihood Method) より得られるパラメータ推定誤差の分散共分散行列を用いれば、上述の問題点が解消されうると見て、対数極値分布 A 型に対するリターンピリオドの標準誤差を評価する式を誘導し、理論の妥当性をシミュレーションによって検討する。

2. 対数極値分布 A 型の最大方程式と解法 対数極値分布 A 型の非超過確率分布 $F(x)$ 、確率密度関数 $f(x)$ は次式で表わされる。

$$F(x) = \exp(-e^{-y}) , \quad f(x) = \frac{k}{c} e^{-y(1+\frac{1}{k})} \cdot F(x) \quad (1) , \quad y = k \ln\left(\frac{x+b}{c}\right) \quad (2)$$

ここに、 k, b, c はパラメータ。尤度関数の自然対数を L とすれば、

$$L = \ln \prod_{i=1}^N f(x_i) = N \ln \frac{k}{c} - \sum_{i=1}^N e^{-y_i} - (1 + \frac{1}{k}) \sum_{i=1}^N y_i \quad (3)$$

ここに、 x_i ($i=1, 2, \dots, N$) は極値水文資料、 $y_i = k \ln\{(x_i+b)/c\}$, ($i=1, 2, \dots, N$) である。

最大法の定義より、(3)式の L を最大にするパラメータ k, b, c の値が最大解を与えることから、次式のような非線形連立方程式が得られる。

$$\left. \begin{aligned} \frac{\partial L}{\partial k} &= \frac{1}{k} \left\{ N + \sum y_i e^{-y_i} - \sum y_i \right\} = 0 , \quad \frac{\partial L}{\partial b} = \frac{1}{c} \left\{ k \cdot \sum e^{-y(1+\frac{1}{k})} - (k+1) \cdot \sum e^{-y/k} \right\} = 0 \\ \frac{\partial L}{\partial c} &= \frac{k}{c} \left\{ N - \sum e^{-y_i} \right\} = 0 \quad (\Sigma \text{内の } y \text{ の添字 } i \text{ を以下省略}) \end{aligned} \right\} \quad (4)$$

この非線形連立方程式は、Newton-Raphson 法による繰返し計算によって解くことができる。

いま、最大解を $\hat{k}, \hat{b}, \hat{c}$ 、第 j 次近似値を $\hat{k}_j, \hat{b}_j, \hat{c}_j$ 、その差を $\Delta \hat{k}_j, \Delta \hat{b}_j, \Delta \hat{c}_j$ とすれば、 $L(\hat{k}_j, \hat{b}_j, \hat{c}_j) = L(\hat{k} - \Delta \hat{k}_j, \hat{b} - \Delta \hat{b}_j, \hat{c} - \Delta \hat{c}_j)$ やす、尤度 $L(\hat{k}_j, \hat{b}_j, \hat{c}_j)$ の k, b, c に関する偏微分 (4) 式最左辺を 0 とすれば $\hat{k} = \hat{k}_j, \hat{b} = \hat{b}_j, \hat{c} = \hat{c}_j$ つまりに Taylor 展開し、二階の偏微分項までとし、若干の変形後、次式が得られる。

$$\left(\Delta \hat{k}_j, \frac{\Delta \hat{b}_j}{\hat{c}_j}, \frac{\Delta \hat{c}_j}{\hat{c}_j} \right) = \left(\frac{\partial L(\hat{k}_j, \hat{b}_j, \hat{c}_j)}{\partial k}, \hat{c}_j \cdot \frac{\partial L(\hat{k}_j, \hat{b}_j, \hat{c}_j)}{\partial b}, \hat{c}_j \cdot \frac{\partial L(\hat{k}_j, \hat{b}_j, \hat{c}_j)}{\partial c} \right) \times A^{-1} \quad (5)$$

ここに、行列 A は対称行列で、その要素 a_{mn} は次式のように表わされる。

$$\left. \begin{aligned} a_{11} &= \hat{k}^{-2} \cdot \left\{ N + \sum y^2 e^{-y} \right\} , \quad a_{22} = (\hat{k}+1) \left\{ \hat{k} \cdot \sum e^{-y(1+\frac{1}{k})} - \sum e^{-2y/\hat{k}} \right\} , \quad a_{33} = \hat{k} \left\{ N + (\hat{k}-1) \cdot \sum e^{-y} \right\} \\ a_{12} = a_{21} &= \sum y \cdot e^{-y(1+\frac{1}{k})} - \sum e^{-y(1+\frac{1}{k})} + \sum e^{-y/\hat{k}}, \quad a_{23} = a_{32} = -\hat{k}^2 \cdot \sum e^{-y(1+\frac{1}{k})}, \quad a_{13} = a_{31} = -N - \sum y \cdot e^{-y} + \sum e^{-y} \end{aligned} \right\} \quad (6)$$

(6)式の行列要素は、大標本論的には、それらの期待値で置換えができる、 $V = E[A^{-1}]$ は最大推定値の分散共分散行列を表わし、かつ最大推定値は正規分布をすることが証明されている⁴⁾。結局、(5)式が繰返し計算の基本式である。初期値の与え方にについては文献 5), 6) を参照して頂きたい。

3. リターンピリオドの標準誤差 水文量の特定値 x に対するリターンピリオド T、すなはち、

$$T = 1 / \{1 - F(x)\} = 1 / \{1 - \exp(-e^{-y})\} \quad (7)$$

の誤差分散 S_T^2 は(2),(7)式の微小変動量を考え、それらの2乗の期待値をとることにより、次式のような関係式で与えられる。

$$\left[\frac{S_T}{T^2 \exp(-y - e^{-y})} \right]^2 = S_y^2 = \frac{y^2}{R^2} \cdot S_b^2 + R^2 \cdot e^{-2y/R} \left\{ \frac{S_b^2}{C^2} \right\} + R^2 \cdot \left\{ \frac{S_c^2}{C^2} \right\} + 2y e^{-y/R} \left\{ \text{Cov}(R, b) \right\} \\ - 2R^2 e^{-y/R} \left\{ \frac{\text{Cov}(b, c)}{C^2} \right\} - 2y \cdot \left\{ \frac{\text{Cov}(R, c)}{C} \right\} \quad (8)$$

ここに、 y は(7)式より T の関数であり、 S_b^2, S_c^2, S_T^2 は添字 b, c, T の誤差分散、 $\text{Cov}(b, b), \text{Cov}(b, c), \dots$ は共分散である。ところが、前述のように、これらの分散共分散（厳密には(8)式右辺の {} 内の諸量）は、大標本論的に、(5),(6)式で表わされる行列 A の期待値の逆行列 $V = E[A^{-1}]$ で与えられるが、この V をそのまま(8)式右辺の {} 内の値として用いるには疑問がある。そこで、ここでは、(6)式中の y 値として、角屋が提案した plotting value (y_N, y は厳密解、中間値は線形補間) の考え方を準用し(6)式の各要素を計算し、その逆行列を(8)式右辺の {} 内の値とすればよいたう。

4. S_T/T と N, T, C_s との関係図 上述の方法

により、(6),(8)式を用いて、リターンセリオドの相対誤差 S_T/T と標本数 N 、リターンセリオド T 、および X の母ひずみ係数 C_s (母ひずみ関数) との関係を図示すれば、図-1 のようになる。この図によれば、たとえば、 $N=60$ の袖珍資料より $T=200$ 年に対する水文量を計画値とした場合、 T の相対誤差 S_T/T は $0.55 \sim 0.56$ で C_s 値の影響をほとんど考慮しなくてはよろしいことが判る。図-2 は従来の方法(角屋)による変動域(標準誤差の領域)と本方法の比較を示したものである、 $F(x) \geq 0.99$ 以上になると予想通り本方法との間に大きな違いが現われてくる。

本手法の妥当性は N がどの程度以上になると $14.3 \times$ タイタ a, b, c 、とくに c の最大推定値分布を正規分布と見なしうるか否かに依存している。最大法を用いた若干のシミュレーションによれば、 $N=40$ でも c の最大推定値は正規分布と見なしうるようである。(6)式中の y 値とて y_N, y 以外の中間値を線形補間したことに検討の余地が残されている。

信頼限界理論への最大法の利用を読み、有力な手法であることが明らかとなった。他の分布についても同様な手法が適用できるため、今後の発展が期待される。

参考文献

- 1) 角屋 駿：計画汎水流量に関する順序統計学的考察、農業土木研究、第21巻、第3号、昭. 28.9
- 2) 角屋 駿：計画降雨量に関する順序統計学的考察、農業土木研究、第22巻、第6号、昭. 30.3
- 3) Bobee, B. and Mann, G.: Determination des Intervalles de Confiance de la Loi Pearson III par les Statistiques d'Ordre, Journal of Hydrology, Vol. 20, No. 2, 1973
- 4) Cramér, H.: Mathematical Methods of Statistics, Princeton University Press, 1971, p. 500
- 5) Jenkinson, A.F.: Statistics of Extremes, World Meteorol. Organ., Report 98, Chapter 5, Geneva, 1969
- 6) 瑞野道夫：最大法による対数正規分布の実用的定数推定法とその応用例、第20回水理講演会論文集、1976
- 7) 角屋 駿：水文量の PLOTTING POSITION について、京大防災研年報、第3号、昭. 34

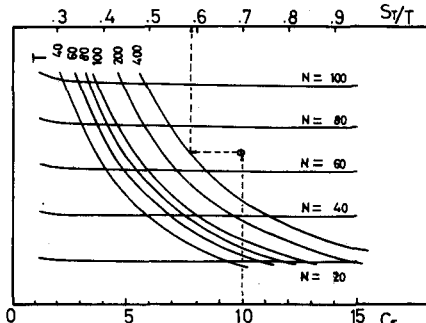


図-1 S_T/T と N, T, C_s の関係図

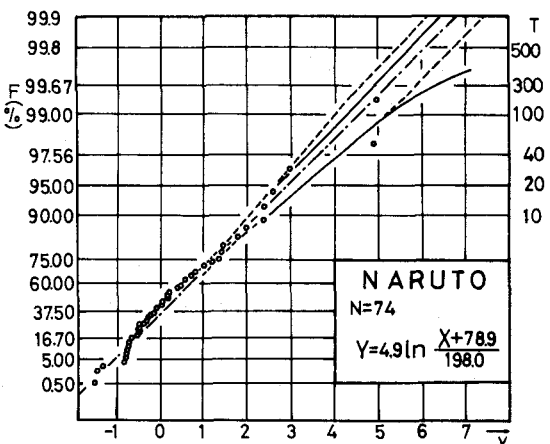


図-2 年最大日雨量分布の変動域
(実線: 本方法, 破線: 角屋法)